



Foto 22.- Panorámica desde el Valle del Carrizal a la izquierda, hasta la Cumbre del Carrizal a la derecha, en la que se observa el conjunto de tramos de la Serie I atravesados por una red de diques subverticales.



Foto 23.- Otra panorámica del Valle del Carrizal en que se destaca un dique basáltico amurallado atravesando la Serie I.



Foto 24.- Aspecto general de la Serie I. En la parte más baja el tramo inferior del edificio volcánico de Carrizal Bajo con escorias, basaltos y brechas. Hacia la izquierda dando los resalte, exclusivamente escorias y productos de proyección aérea de la parte interna del edificio.



Foto 25.- Aspecto de las brechas del edificio volcánico de Carrizal, Serie I.



Foto 26.- Detalle de las brechas de la fotografía anterior.



Foto 27.- Dique basáltico atravesando las brechas del edificio volcánico de Carrizal Bajo en la Serie I.



Foto 28.- Otro aspecto de los productos de proyección aérea en que se observan niveles de cenizas.



Foto 29.- Ladera meridional del Valle de los Carrizales. Constituyendo el resalte se encuentra la parte basal del tramo de escorias y productos de proyección aérea del edificio volcánico. Debajo de él, el tramo inferior de dicho edificio compuesto por escorias, basaltos plagioclásicos y brechas volcánicas.

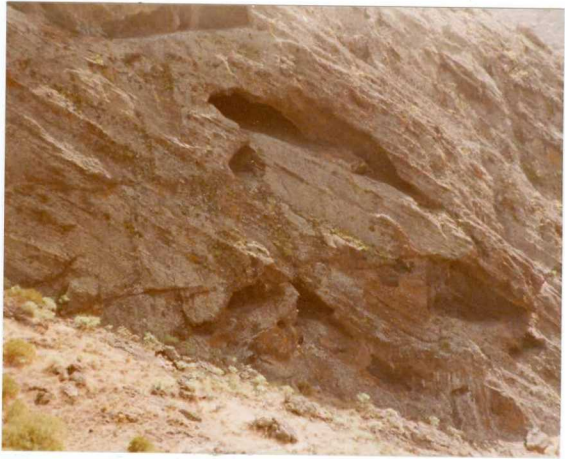


Foto 30.- Aspecto de la parte basal del tramo con productos de proyección aérea de la foto  
grafía anterior.



Foto 31.- Aspecto general del apilamiento de escorias, coladas y productos de proyección aérea en los acantilados costeros de la Serie I. Al fondo a la izquierda Punta de Teno.

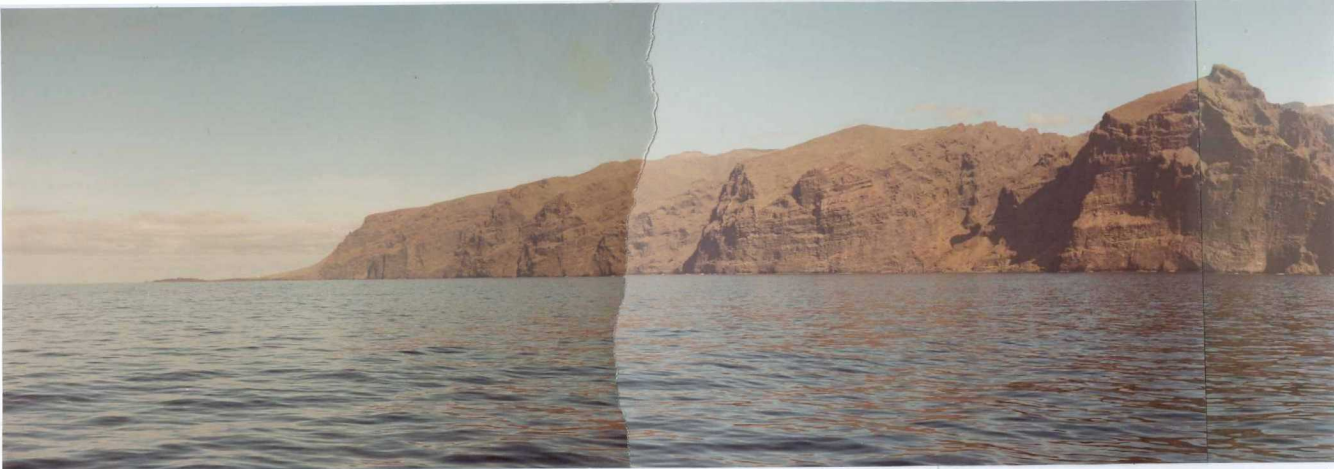


Foto 32.- Panorámica de los apilamientos de la Serie I en los acantilados de la costa. Al fondo se divisa la Punta de Teno con su centro de emisión (Serie IV) y los derrubios de ladera adosados al escarpado la Serie I. En el extremo de la derecha el roque Vizcaino.



Foto 33.- El Roque Bermejo mostrando en su acantilado la sucesión de escorias y coladas correspondiente a la parte externa del cono volcánico de Carrizal. En parte más alta el tramo de coladas y escorias.



Foto 34.- Barranco del Carrizal y Acantilado de Piedra Negra.



Foto 35.- Final del acantilado hacia el Norte, donde los potentes derrubios de ladera que origina se desparraman por la plana de Teno Bajo.



Foto 36.- Panorámica en que se observa el mismo motivo que en la anterior fotografía y su relación con el centro de emisión de la Serie IV en Punta de Teno (a la izquierda). El pequeño acantilado bajo los derrubios está constituido por coladas de la Serie III y algunas procedentes del volcán de la Serie IV.



Foto 37.- Derrubio de ladera y coladas y cono de piroclastos enterrado de la serie tabular atravesada por diques en la punta de Diente de Ajo.



Foto 38.- Detalle de la foto anterior.



Foto 39.- Coladas y piroclastos intercalados de la serie tabular en el acantilado de Cueva Grande.



Foto 40.- Coladas con un nivel de piroclastos rojos intercalados de la serie tabular atravesada por numerosos diques en el acantilado de la cueva Grande.

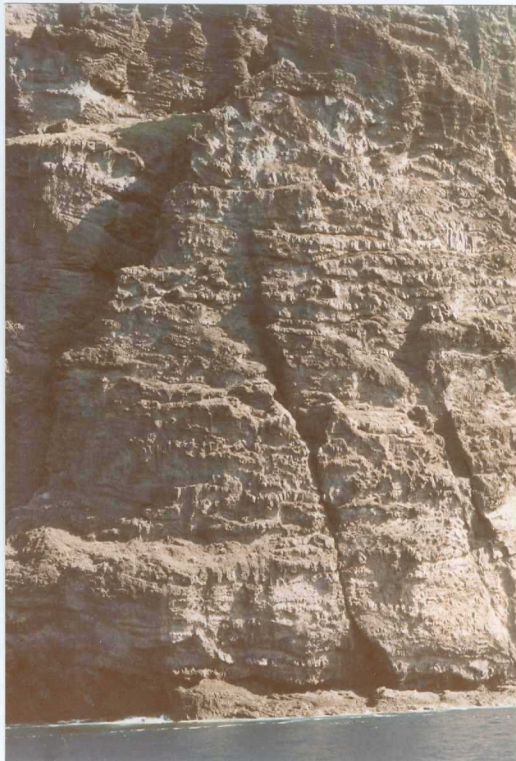


Foto 41.- Apilamiento de escorias y alguna pequeña colada en el acantilado del Roque Bermejo.

Foto 42.- Acantilado del Roque Bermejo.



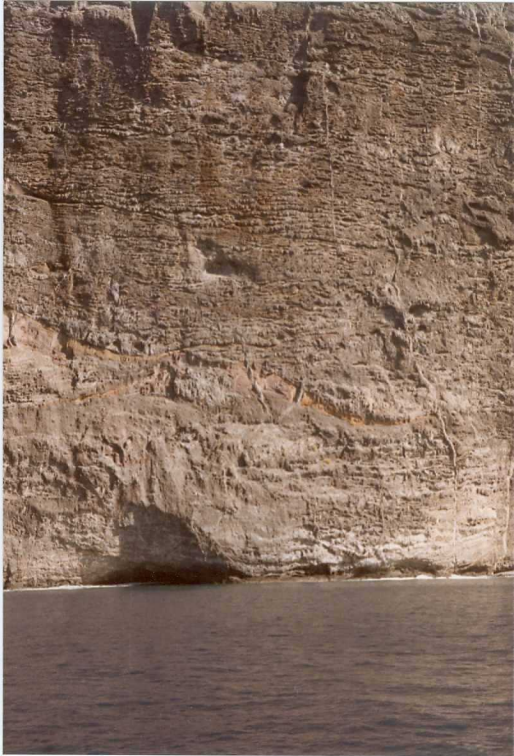


Foto 43.- Detalle de la fotografía anterior.